锈层对船体钢耐腐蚀性能影响研究

田志强, 王崇碧, 孔小东, 王源升

(海军工程大学理学院,武汉 430033)

摘要:选择5种不同类型的船体钢,在3%(质量分数)NaCl溶液中浸泡1a,用金相显微镜观察内、外锈层形貌特征和腐蚀形貌,分析锈层下钢的腐蚀特征;记录自腐蚀电位(OCP)的变化,评价锈层对腐蚀倾向性的影响;利用电子探针(EMPA)分析锈层的形貌和内锈层元素分布;通过计算质量损失得到钢的平均腐蚀速率。结果表明,外锈层对钢腐蚀的影响较小;内锈层的缺陷与钢腐蚀形貌中的腐蚀坑对应;当钢中的Ni和Cr元素含量较高时,由于Cr元素在其内锈层和基体交界面富集,其平均腐蚀速率最小。

关键词:船体钢;锈层;腐蚀形貌

中图分类号: TG172.5 文献标识码: A 文章编号: 1672-9242(2012)03-0066-05

Effect of Rust Layer on Corrosion Resistance of Hull Steel

TIAN Zhi-qiang, WANG Chong-bi, KONG Xiao-dong, WANG Yuan-sheng (Navy University of Engineering, Wuhan 430033, China)

Abstract: Five different types of hull steel were immersed in 3%NaCl solution for one year; the morphologies of inner and outer rust layers and the corrosion morphologies were obtained by metallographic microscope; and the corrosion characteristics of steel under rust layer were analyzed. The change in corrosion potential (OCP) were recorded for evaluation of influence of rust layer on corrosion tendency; the rust layer morphology and element distribution in inner layers were analyzed by means of electron probe micro–analyzer (EMPA). Average corrosion rate of steels was got by weight loss calculation. The results showed that outer rust layers have little influence on steels corrosion; the corrosion pits seen from steels corrosion morphology corresponds to defects in the inner rust layers; minimum of average corrosion rate is caused by the enrichment of Cr element in the inner rust layer and matrix cross–interface when steel has higher Ni and Cr content.

Key words: hull steel; rust layer; corrosion morphology

船体钢的性能是开展船舶结构设计和制订舰船制造工艺的基础,船体钢耐蚀性能的优劣是选用船体钢的重要依据。在恶劣的海洋环境下,船体钢很

容易发生腐蚀,会严重影响整体性能,带来船体强度 下降、局部腐蚀破损、航行速度下降等后果[□]。锈层 下的腐蚀过程十分复杂,普通碳钢、耐候钢等锈层形

收稿日期: 2012-03-07

作者简介: 田志强(1984—),男,湖北黄冈人,博士研究生,主要研究方向为金属腐蚀与防护。

成机理以及锈层对材料腐蚀影响的机理已经被广泛研究[2-6]。针对锈层对船体钢腐蚀影响的系统比较和分析较少,锈层及其中的合金元素对腐蚀的影响尚不完全清楚,一方面锈层能有效地阻滞氧进入金属表面,另一方面锈层也能加速金属的腐蚀[7]。文中选取5种适用于不同用途舰船的船体钢材料,通过对其腐蚀锈层由外至内的形貌和成分分析,结合自腐蚀电位监测和质量损失计算,研究锈层对船体钢

腐蚀的影响,获取锈层和船体钢腐蚀的关系并比较5 种船体钢的腐蚀规律和腐蚀特性,为合理改进船体 钢性能和船体钢材料的选用等提供依据。

1 试验材料与方法

取5种不同用途舰船船体钢材料(编号分别为a,b,c,d,e)进行试验,5种材料的主要成分见表1。

表 1 5 种船用结构钢组成及质量分数

Table 1 The main composition and mass fraction of five hull steels

编号	C	Si	Mn	Ni	Cr	Mo	V	Cu	Ti	Fe
a	0.12~0.17	0.3~0.6	1.25~1.60	_	_	_	0.03~0.09	_	0.07~0.15	基体
b	< 0.12	0.8~1.1	0.5~0.8	0.5~0.8	0.6~0.9	_	_	0.4~0.6	_	基体
\mathbf{c}	0.09~0.14	0.17~0.37	0.3~0.6	2.6~3.0	0.9~1.2	0.20~0.27	0.04~0.10	_	_	基体
d	< 0.14	0.17~0.7	<1.2	0.9~1.4	0.4~0.8	< 0.2	< 0.1	_	_	基体
e	< 0.21	0.10~0.35	0.60~1.00	_	_	_	_	_	_	基体

材料经线切割制成合适大小的3组平行试样,除工作面外试样四周用环氧树脂进行封装,暴露的工作面经过水砂纸逐级打磨至1500 #,丙酮除油,蒸馏水清洗,冷风吹干后称量并浸泡于实验室试验箱内。浸泡液为5 L质量分数(后同)为3%的 NaCl溶液,每星期换1次水,浸泡周期为1 a。用 CS350 电化学工作站对浸泡初期的电腐蚀电位进行监测,之后每月测量1次。浸泡结束后,由外至内逐步清除锈层并用体式显微镜拍摄锈层形貌、用电子探针(EMPA)对内锈层进行鉴定和分析,锈层完全清洗之后再次称量。

2 结果与分析

2.1 外锈层形貌

图 1 为浸泡 1 a 后 5 种钢的外锈层形貌。从表面看,外锈层都表现为黄褐色或棕黄色,疏松多孔,用清洁毛刷轻拭即易脱落。这主要是因为碳钢在 3% NaCl 溶液中腐蚀的外锈层成分基本相同,均由α-FeOOH,γ-FeOOH和 FeO组成;内锈层一般表现为黑褐色,主要成分为 Fe₃O₄等氧化物,与金属基体附着良好,通常需要以小刀等轻刮获得¹⁸。a,b,c,d钢的外锈层疏松多孔,但是均匀附着于材料表面;e

钢的外锈层则已经出现部分剥落和分层现象,这说明e钢的外锈层附着力比较差,不容易在材料表面堆积。

2.2 内锈层形貌

图 2 为 5 种钢的内锈层形貌。可以看出, a 钢内锈层表面有裂纹, 而且裂纹周围有黄色铁锈附着; b 钢内锈层有明显的分层现象, 破损部分周围有黄色铁锈, 上下两层之间有间隙; c 钢内锈层则有明显的穿透孔, 穿透孔周围同样有黄色铁锈; d, e 钢内锈层覆盖均比较均匀。

2.3 无锈层形貌

图 3 为用标准液清洗去除锈层后的金属表面形 貌。每种钢表面均有明显的腐蚀坑,c钢表面最为粗糙,腐蚀坑分布较多且较深;b钢表面腐蚀坑面积较大,单数量较少;a,d钢表面相对平整;e钢表面则分布着大量豌豆状圆形腐蚀坑。

2.4 内锈层元素分布

将去除外锈层之后的钢样进行热镶嵌,用电子探针沿金属腐蚀发展方向进行面扫描,得到的内锈层元素分布情况如图4所示。由扫描结果可以看出,a,e钢中的锈层中包含Ca,Ti,Si等元素,a钢中的

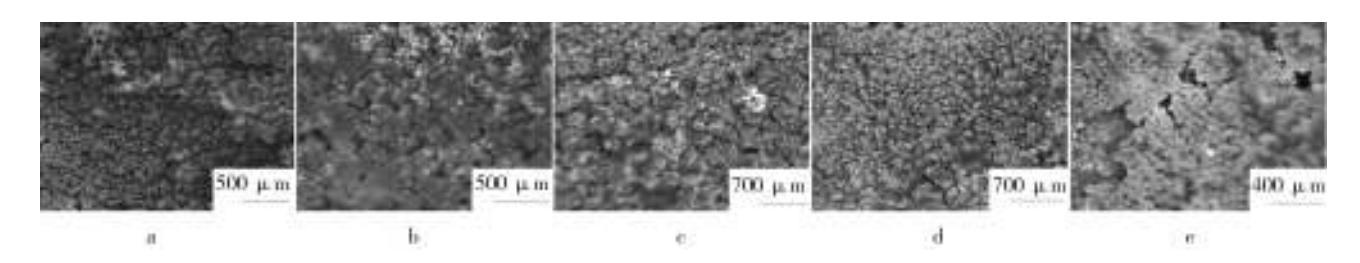


图1 5种钢的外锈层形貌

Fig. 1 Morphologies of outer layer of five steels

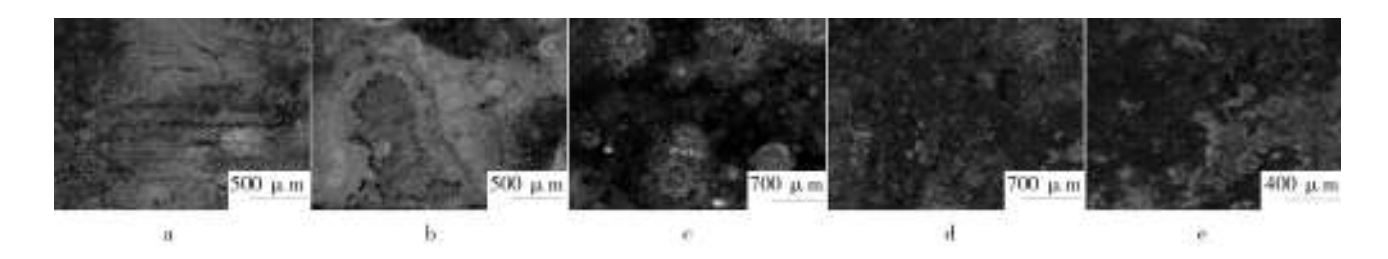


图 2 5种钢的内锈层形貌

Fig. 2 Morphologies of inner layer of five steels

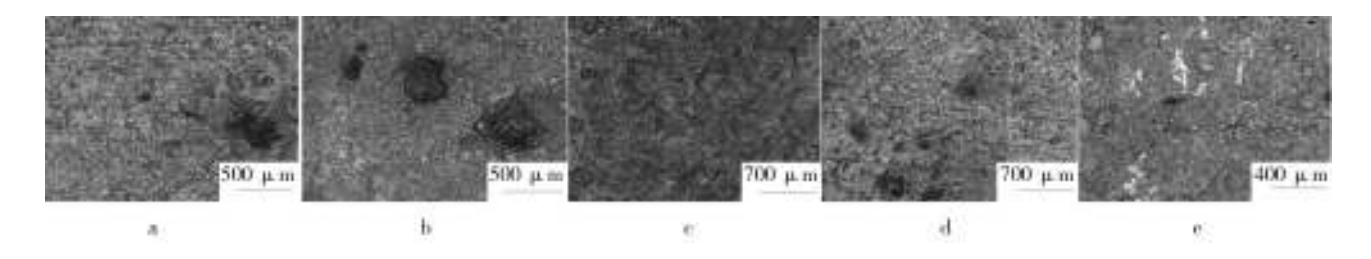


图 3 5种钢的腐蚀形貌

Fig. 3 Corrosion morphologies of five steels

Ca,Ti元素各自以难溶夹杂物的形式留在锈层中,e钢中Si和Ca以复合物的形式分布于内锈层的表层和底部;a,b,e钢锈层中可检测到Cl元素,a钢中的Cl元素均匀分布在锈层中,而b,e钢锈层中的Cl元素则分布于锈层和基体的交界处。b,c,d钢内锈层中均可检测到Cr元素的分布,c钢中Cr元素分布于锈层与裂纹和基体的交界处。

2.5 自腐蚀电位检测和质量损失

在试验过程中,对浸泡试样的自腐蚀电位进行 检测。浸泡过程中试样自腐蚀电位变化如图 5 所 示。从图 5a 可以看出,在浸泡初期,每种钢的自腐蚀 电位均有一定幅度负移,300 s后,除a 钢外其它钢样 表面电位变化趋于平缓。图 5b 为 5 种钢分别在浸泡 初期、0.5 a 后、1 a 后检测到的自腐蚀电位变化。a, b,d钢随着浸泡时间的延长,自腐蚀电位正移;c,e钢的自腐蚀电位则持续负移至第6个月才逐渐正移,且所有的钢在浸泡1a后其自腐蚀电位均比浸泡初期正,幅度分别为75,110,83,66,51 mV。

浸泡1 a后,将试样取下,清理锈层后再次称量,将质量损失量通过公式¹⁰¹转化为深度指标后得到各自的平均腐蚀速率,结果如图6所示,腐蚀速率的关系为a>b>e>d>c,a和b钢,d和e钢的腐蚀速率相近,c的腐蚀速率和其他4种钢有数量级的差别。

从浸泡1a后船体钢外锈层形貌看,a,b,c,d钢外锈层均匀致密,附着力较好,e钢外锈层有明显的脱落。自腐蚀电位与钢的腐蚀倾向性有关,从自腐蚀电位检测结果看,锈层的覆盖使钢的腐蚀倾向性减小。从平均腐蚀速率来看,e钢的腐蚀速率比a,b,c钢小,这说明外锈层的存在对腐蚀影响较小,锈层

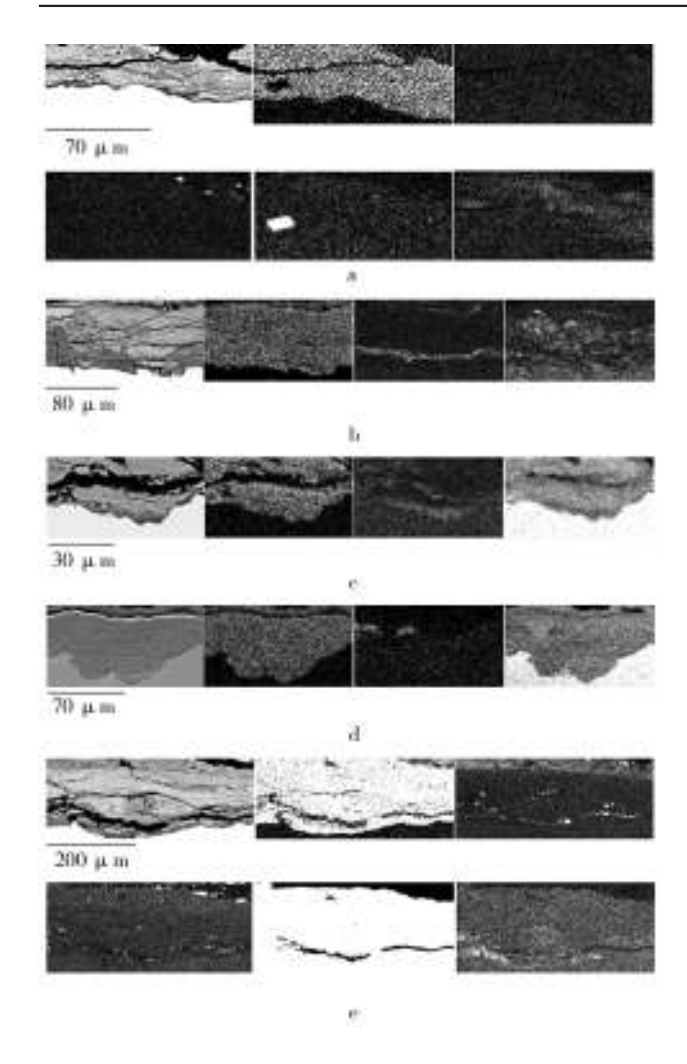


图 4 5种钢内锈层的电子探针分析 Fig. 4 EMPA analysis of inner layer of five steels

对腐蚀速率影响主要由内锈层决定。

从内锈层形貌看,a钢的内锈层出现裂纹,b钢的内锈层局部的剥落并可以看到分层,c钢的内锈层则出现穿孔渗透,d和e钢的内锈层分布较均匀。去除内锈层后发现,裂纹、穿孔、剥落等缺陷都对应着金属表面的腐蚀坑,其中c钢的腐蚀坑最深,其表面更加粗糙。内锈层缺陷将会使侵蚀性离子和氧等向金属表面局部扩散变得容易,是造成腐蚀坑的原因。

内锈层中元素的分布可以反应锈层的性质。a,b,e钢内锈层中可以明显地探测到Cl元素,这表明着3种钢的内锈层对Cl-的侵蚀抗力较弱,而Cl-侵蚀是造成金属腐蚀的重要原因。a和e钢的内锈层中均包含难溶的夹杂及其化合物,相对a钢而言,e钢中的难溶夹杂分布于锈层与金属接触的界面,这可能阻滞腐蚀使e钢的腐蚀速率较小。b,c,d钢成分中都含有一

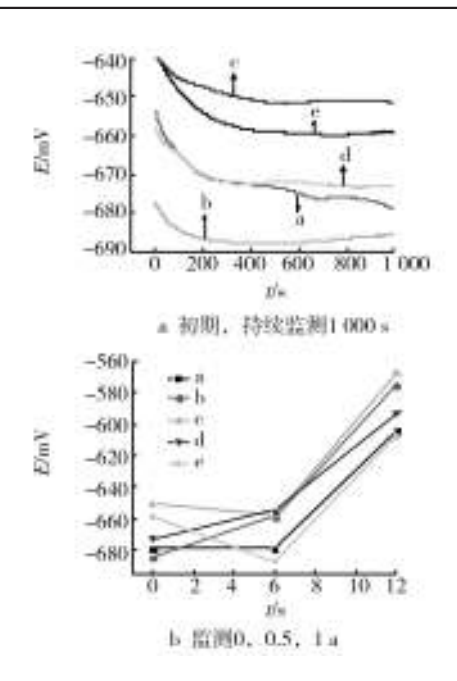


图5 浸泡过程中5种钢不同时期的自腐蚀电位 Fig. 5 OCP of five steels immersed in different stage

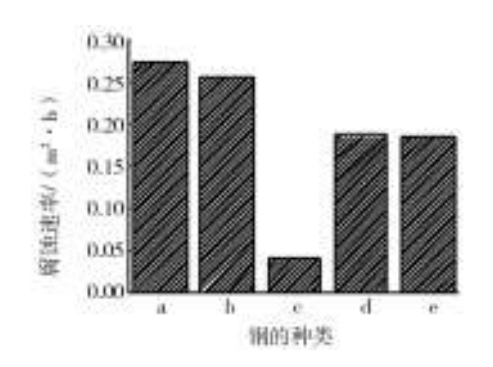


图6 5种钢的平均腐蚀速率

Fig. 6 Average corrosion rate of the five steels

定的Cr元素,在内锈层中也能发现Cr的分布,但是只有c钢中的Cr在锈层和金属交界面富集。Cr是一种良好的耐腐蚀合金元素,Cr在c钢金属表面的富集,会明显加速腐蚀产物向着热力学稳定的方向发展,能有效阻滞Cl-等向基体表面渗透,从而抑制腐蚀的发展¹⁰⁰,为c钢的腐蚀速率最小,和其他4种钢有数量级的差别。Cr元素的分布会使基体表面钝化,随着浸泡时间的延长,钝化的部位容易发生点蚀,这是c钢表面腐蚀坑最深的原因。研究表明,在长期浸泡条件下,Cr元素可能恶化钢的耐蚀性。

3 结论

1) 锈层对5种船体钢各自腐蚀均有一定的阻滞

作用,浸泡1 a 的船体钢外锈层对腐蚀影响较小,Cr 元素在内锈层和基体交界面的富集是决定腐蚀速率的主要因素。

2) 内锈层的缺陷使锈层对船体钢基体的保护效果变差,缺陷部位对应着基体上的腐蚀坑。其中, c钢的最大腐蚀深度较大,但腐蚀速率最小。

参考文献:

- [1] 张承忠. 金属的腐蚀与保护[M]. 北京:治金工业出版社, 2000.
- [2] MELCHERS R E, JEFFREY R. Early Corrosion of Mild Steel in Seawater[J]. Corrosion Science, 2005, 47 (7): 1678—1693.
- [3] 徐龙娇,董超芳,肖葵,等. Cl-作用下碳钢和耐候钢大气 初期腐蚀的 Kelvin 探针研究[J]. 北京科技大学学报, 2010,32(5);581—588.
- [4] 张全成,王建军,吴建生,等. 锈层离子选择性对耐候钢 抗海洋性大气腐蚀性能的影响[J]. 金属学报,2001,37 (2):193—196.

- [5] 王建民,陈学群,李国民,等. 两类船用低合金钢耐点蚀性能的比较[J]. 中国腐蚀与防护学报,2005,25(6): 356—360.
- [6] 邹妍,王佳,郑莹莹. 锈层下碳钢的腐蚀电化学行为特征 [J]. 物理化学学报,2010,26(9):2361—2368.
- [7] PINEAU S, SABOT R, QUILLET L. Formation of the Fe (II − III) hydroxysulphate Green Rust during Marine Corrosion of Steel Associated to Molecular Detection of Dissimilatory Sulphite-reductase[J]. Corrosion Science, 2008, 50(4):1099—1111.
- [8] 张全成,吴建生,陈家光,等. 暴露1年的耐大气腐蚀用钢 表面锈层分析[J]. 中国腐蚀与防护学报,2001,21(5): 297—300.
- [9] 魏宝明. 金属腐蚀理论及应用[M]. 北京: 化学工业出版 社, 2004.
- [10] 王建军,郭小丹,郑文龙,等. 海洋大气暴露3年的碳钢与耐候钢表面锈层分析[J]. 腐蚀与防护, 2002, 23(7): 288—291.

(上接第51页)

研究[J]. 计算机集成制造系统, 2005, 11(10): 1491—1405

- [4] 刘祥华,张作刚. 基于灰色系统理论的小样本飞机航材消耗预测[J]. 统计与决策,2007(11):39—41.
- [5] 贾占强,梁玉英. 灰色 *GM*(1,1)模型在电子装备寿命预测中的应用[J]. 火力与指挥控制,2008,33(11):134—136.
- [6] 李建民. 基于灰色理论的舰船装备剩余寿命预测模型[J]. 舰船电子工程,2009,29(3):99—101.
- [7] 杨云川,王新颖,张旭波.引入修正因子的研究生招生等维新息预测模型[J]. 辽宁科技大学学报,2010,33(3):285—288.
- [8] 王永刚, 吕学梅. 民航事故征候的关联度分析和灰色模型预测[J]. 安全与环境学报, 2006, 6(6): 127—130.

(上接第58页)

该系统的跟踪误差为±0.5°,具有良好的跟踪精度。

3 结论

文中介绍的太阳跟踪系统结构简单、能实现对 太阳的全天候自动跟踪。该跟踪装置以视日运动轨 迹为模型,利用PLC控制步进电机进行驱动,使成本 大幅度降低,具有较好的太阳相对位置测量精度和 太阳自动跟踪速度。该装置已成功应用于自然环境加速试验中,并且获得了国家发明专利授权。

参考文献:

- [1] 林晓钢,高潮,郭永彩,等. 自然环境加速实验装置中自动太阳跟踪方法[J]. 重庆大学学报,2002,26(5):115—117.
- [2] 杨晓然,李迪凡,周学斌,等.一种大气环境综合自然加速试验系统:中国,101718676 A[P]. 2010-06-02.